
Master thesis and internship[BR]- Master's thesis : Calibration of FLORIS instrument onboard ESA FLEX satellite. Study of the detector non-linearity key data parameters[BR]- Integration internship

Auteur : Tezel, Nursel

Promoteur(s) : Georges, Marc

Faculté : Faculté des Sciences appliquées

Diplôme : Master en ingénieur civil en aérospatiale, à finalité spécialisée en "aerospace engineering"

Année académique : 2020-2021

URI/URL : <http://hdl.handle.net/2268.2/12964>

Avertissement à l'attention des usagers :

Tous les documents placés en accès ouvert sur le site le site MatheO sont protégés par le droit d'auteur. Conformément aux principes énoncés par la "Budapest Open Access Initiative"(BOAI, 2002), l'utilisateur du site peut lire, télécharger, copier, transmettre, imprimer, chercher ou faire un lien vers le texte intégral de ces documents, les disséquer pour les indexer, s'en servir de données pour un logiciel, ou s'en servir à toute autre fin légale (ou prévue par la réglementation relative au droit d'auteur). Toute utilisation du document à des fins commerciales est strictement interdite.

Par ailleurs, l'utilisateur s'engage à respecter les droits moraux de l'auteur, principalement le droit à l'intégrité de l'oeuvre et le droit de paternité et ce dans toute utilisation que l'utilisateur entreprend. Ainsi, à titre d'exemple, lorsqu'il reproduira un document par extrait ou dans son intégralité, l'utilisateur citera de manière complète les sources telles que mentionnées ci-dessus. Toute utilisation non explicitement autorisée ci-avant (telle que par exemple, la modification du document ou son résumé) nécessite l'autorisation préalable et expresse des auteurs ou de leurs ayants droit.

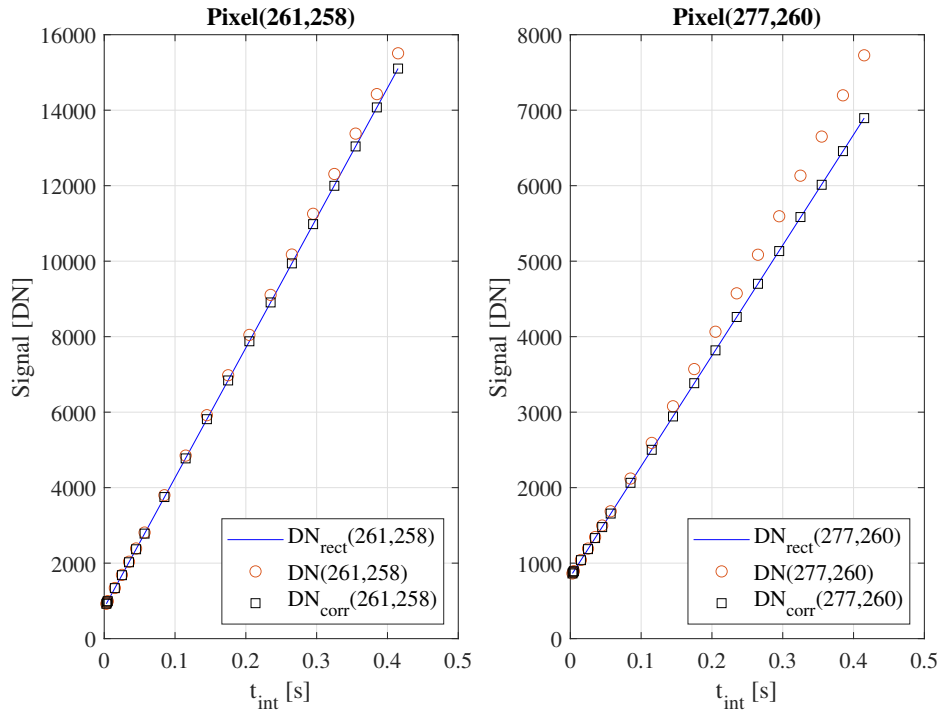


Figure 1: Representation of the signal in [DN] with respect to t_{int} in [s] for the pixels (261,258) and (277,260).

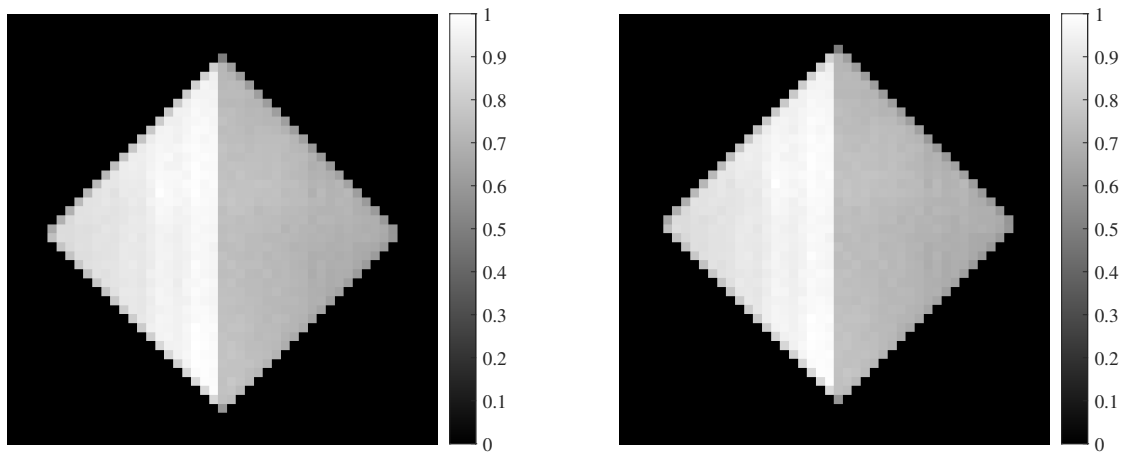


Figure 2: Difference between the initial image on the left and the corrected image on the right. The integration time of the image is 0.004s.

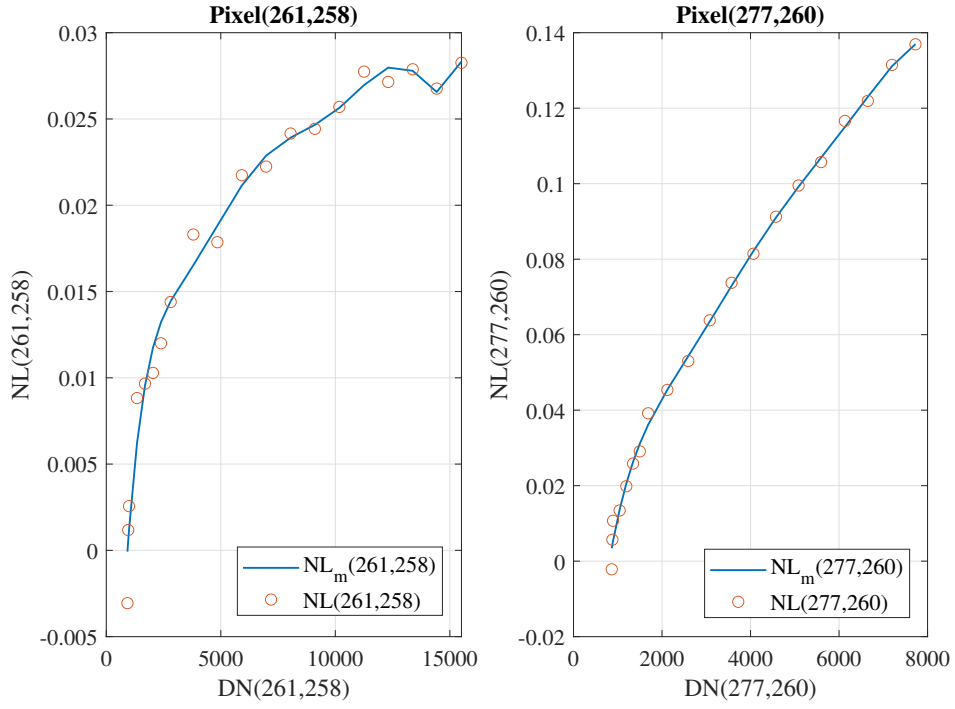


Figure 3: Representation of the non-linearity in $[\sim]$ with respect to $DN(t_{int})$ in [DN] for the pixels (261,258) and (277,260).

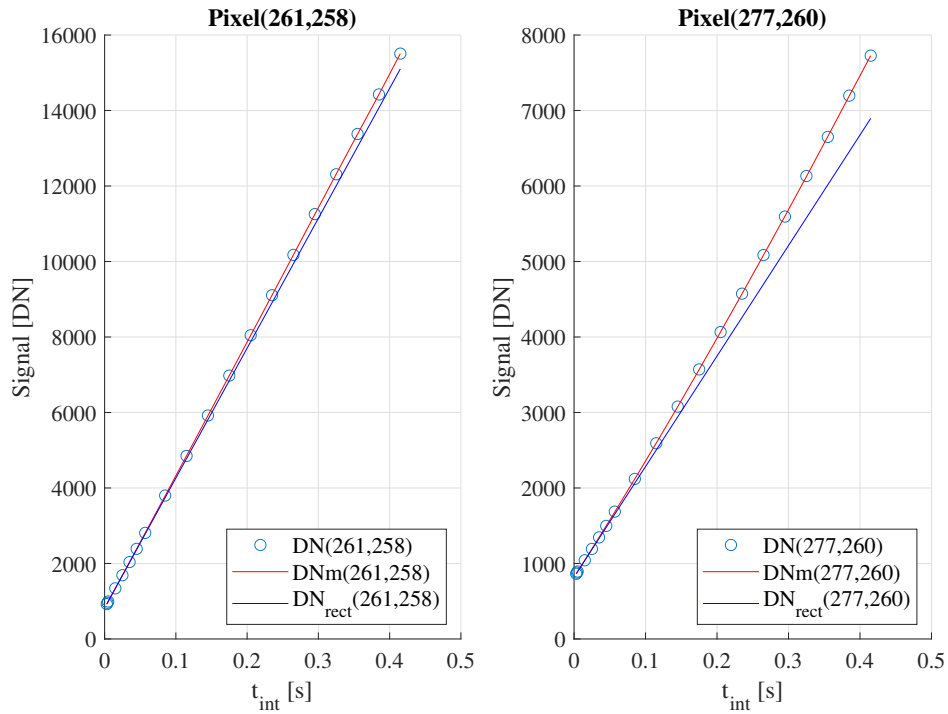


Figure 4: Representation of the signal in [DN] with respect to t_{int} in [s] for the pixels (261,258) and (277,260).